



ASX/Pressemitteilung - 18. Juli 2011

Prozessupdate - Marenica Uranprojekt, Namibia Ergänzungsbohrungen im East-Pit-Gebiet, Marenica Uranressource

- **Ergebnisse der Ergänzungsbohrungen zeigten Fortsetzung der hochgradigen Mineralisierung im östlichen Teil der Marenica-Ressource, mit zahlreichen Zonen, die im Großen und Ganzen mit dem Nord-Ost-Trend übereinstimmen, innerhalb eines kontinuierlichen >50ppm Gehalts**
- **Alle Bohrloch-Ergebnisse wurden für das East-Pit-Programm erhoben. 86 % der sondierten Löcher enthielten bedeutende Abschnitte von >100ppm eU₃O₈. Die Highlights der aktuellen Ergebnisse beinhalten:**
 - **8.4m zu 346ppm eU₃O₈ aus 24.7m in MAR1808**
 - **8.7m zu 352ppm eU₃O₈ aus 28.0m in MAR1823**
 - **8.0m zu 352ppm eU₃O₈ aus 33.6m in MAR1825**
 - **12.7m zu 572ppm eU₃O₈ aus 28.4m in MAR1826**
 - **16.8m zu 498ppm eU₃O₈ aus 27.0m in MAR1853**
 - **8.0m zu 547ppm eU₃O₈ aus 16.2m in MAR1867**
 - **7.7m zu 569ppm eU₃O₈ aus 23.8m in MAR1876**
 - **16.4m zu 472ppm eU₃O₈ aus 11.4m in MAR1889**
 - **4.0m zu 1169ppm eU₃O₈ aus 29.2m in MAR1889**
- **Die Bohrungen am Explorationsziel MA7 wurden mit insgesamt 88 Löchern mit 2.525m abgeschlossen.**

Das internationale Uranunternehmen Marenica Energy (ASX:MEY) freut sich ein Update über die laufenden Ressourcen-Ergänzungs- und Explorationsbohrungen an seinem Uran-Projekt in Namibia, Südafrika, welches zu 75% im Besitz von Marenica ist, zu geben.

Die Bohrungen wurden konzipiert, um das Raster zu einem Abstand von 100m X 100m in einem Bereich der Ressource, der zuvor in großen Abständen gebohrt wurde (300m X 200m), zu füllen.

Die Bohrungen bestätigen die Kontinuität des +50ppm-Erzumschlags im östlichen Teil des Ressourcengebietes. Innerhalb dieses Bereichs wurden ebenfalls zahlreiche nordöstlich-verlaufende hochgradige Zonen entdeckt, von denen einige nach Norden und Süden offen bleiben. Die fortsetzende Definition dieser hochgradigen Zonen werden zu Verbesserungen des geologischen Modells und des Ressourcenmodells führen.

Bohrupdate

Die RC-Bohrungen an der East-Pit-Zone der Marenica-Ressource (siehe Abbildung 1) sind nun mit insgesamt 205 Löchern auf 11.201m abgeschlossen. Die Bohrungen am Explorationsziel MA7 wurden mit 88 Löchern auf 2.525m beendet. Die Ergebnisse werden in Kürze verfügbar sein.

Die wichtigsten Einschlüsse aus der East-Pit-Zone werden mit 100ppm eU_3O_8 als untere Grenzfrequenz kalkuliert. Diese sind in Anlage 1 dargestellt. Bessere Einschlüsse aus aktuellen Ergebnissen beinhalten:

- **8.4m zu 346ppm eU_3O_8 aus 24.7m in MAR1808**
- **12.9m zu 210ppm eU_3O_8 aus 22.7m in MAR1822**
- **8.7m zu 352ppm eU_3O_8 aus 28.0m in MAR1823**
- **8.0m zu 352ppm eU_3O_8 aus 33.6m in MAR1825**
- **12.7m zu 572ppm eU_3O_8 aus 28.4m in MAR1826**
- **10.8m zu 240ppm eU_3O_8 aus 11.9m in MAR1833**
- **10.6m zu 202ppm eU_3O_8 aus 12.0m in MAR1840**
- **6.6m zu 321ppm eU_3O_8 aus 45.0m in MAR1842**
- **10.8m zu 272ppm eU_3O_8 aus 16.7m in MAR1848**
- **16.8m zu 498ppm eU_3O_8 aus 27.0m in MAR1853**
- **5.0 m zu 344ppm eU_3O_8 aus 31.2m in MAR1856**
- **8.0m zu 547ppm eU_3O_8 aus 16.2m in MAR1867**
- **7.7m zu 569ppm eU_3O_8 aus 23.8m in MAR1876**
- **5.6m zu 326ppm eU_3O_8 aus 13.8m in MAR1887**
- **16.4m zu 472ppm eU_3O_8 aus 11.4m in MAR1889**
- **4.0m zu 1169ppm eU_3O_8 aus 29.2m in MAR1889**
- **6.9m zu 303ppm eU_3O_8 aus 21.1m in MAR1897**
- **5.6m zu 272ppm eU_3O_8 aus 11.2m in MAR1909**

Insgesamt 176 Löcher (86%) liefern Einschlüsse $>100ppm eU_3O_8$ innerhalb eines breiten kontinuierlichen Gehaltsumschlags. Mineralisierte Zonen von $>100ppm eU_3O_8$ wurden von der Oberfläche bis in die Tiefe bis zu 50m durchschnitten, wobei die meisten bedeutenden Einschlüsse zwischen 15m und 25m unter der Oberfläche auftreten. Mehrere hochgradige Zonen erweitern sich in Richtung des East-Pit-Gebiets und orientieren sich nordöstlich, im Großen und Ganzen parallel zum Trend des wichtigsten Marenica Paläo-Kanals (siehe Abbildung 2). Diese diskreten Zonen mit hochgradiger Mineralisierung treten als semikontinuierliche Hüllen auf, ähnlich zu denen, die durch frühere Bohrungen im westlichen Teil des Depots definiert wurden.

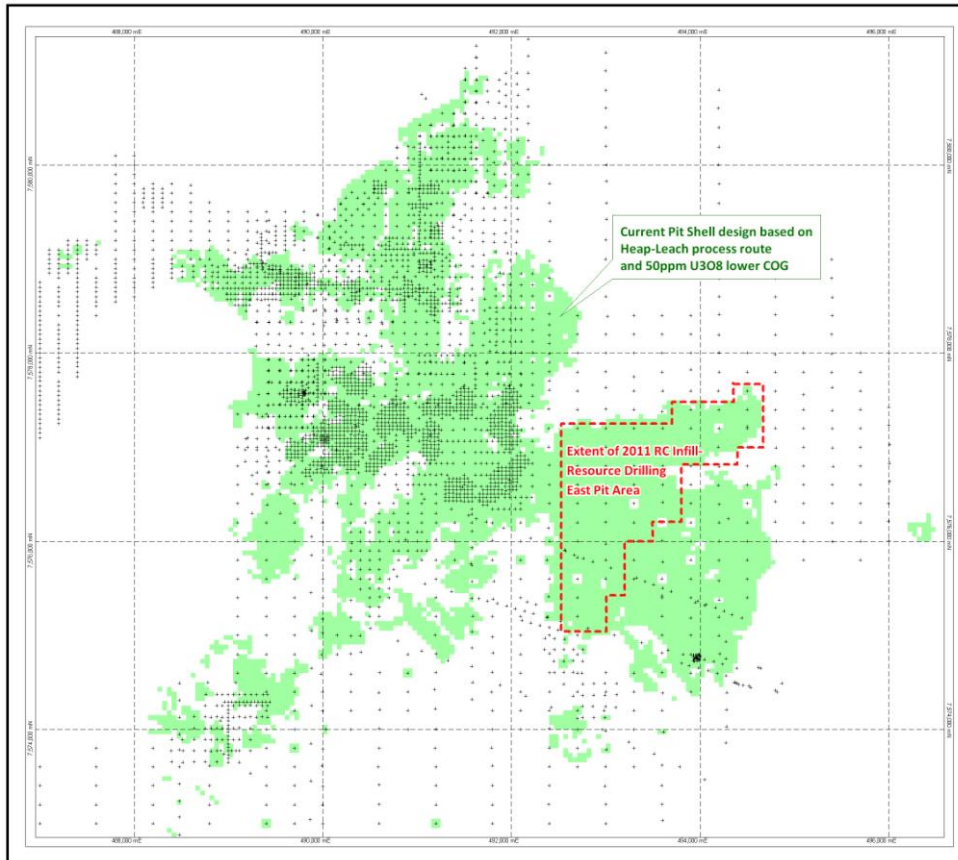


Abbildung 1: Standort des East-Pit-RC-Bohrprogramms, innerhalb des aktuellen Pit-Shell-Designs

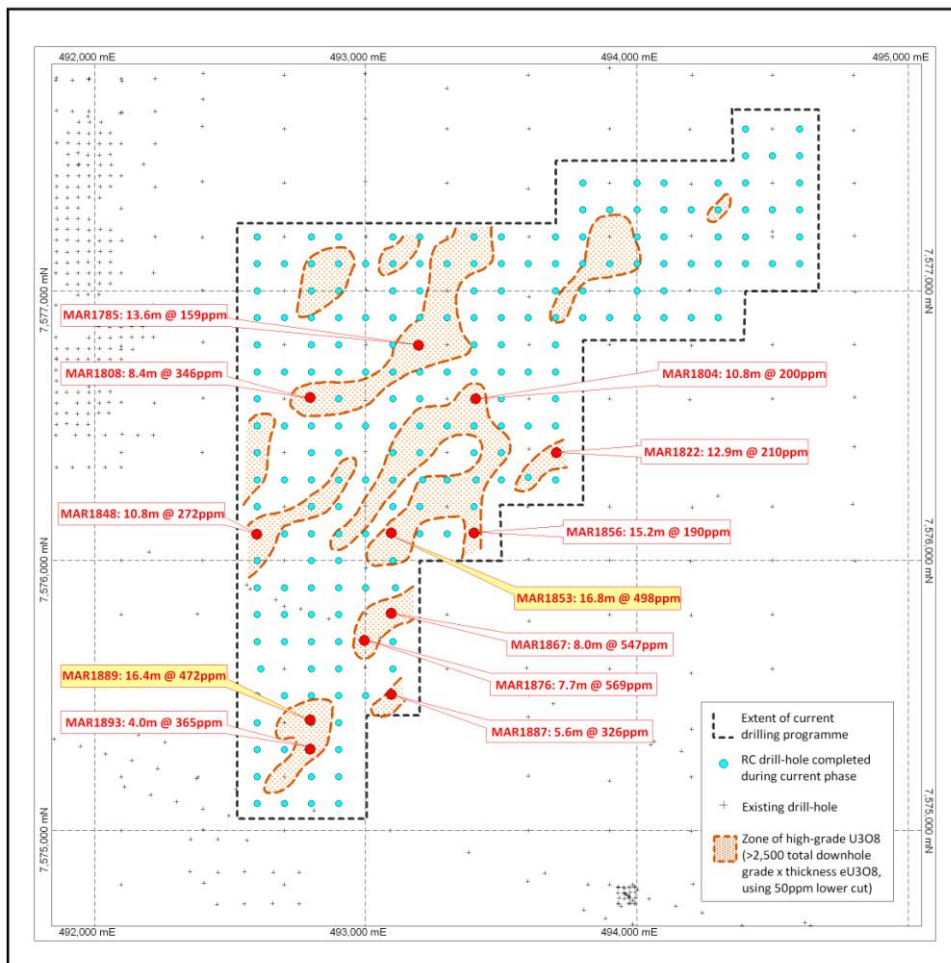


Abbildung 2: East-Pit-Bohrprogramm, zeigt bedeutende Abschnitte und Lage der hochgradigen Gänge.

Für weitere Informationen kontaktieren Sie John Young, CEO bei Marenica Energy Limited ;
Tel: +61 8 9321 7355

Anmerkungen

Die Informationen in diesem Bericht in Bezug auf die Explorationsergebnisse basieren auf Informationen, welche durch Dr. Erik van Noort zusammengestellt wurden, der ein Mitglied des australischen Instituts für Bergbau und Metallurgie ist. Dr. van Noort ist ein Angestellter bei Marenica Energy Ltd und hat ausreichende Erfahrung in Bezug auf die Art der Mineralisierung und Ablagerung und auf die Tätigkeit, die ihn als kompetente Person qualifiziert, wie bereits in der 2004-Ausgabe des „Australasian Code for Reporting of Exploration Results, Mineral Resources and Ore Reserves“ beschrieben. Dr. van Noort hat der Einbeziehung der Inhalte in erscheinender Form und Zusammenhang in das Dokument zugestimmt.

Wo eU_3O_8 auftritt, bezieht es sich auf Werte aus radiometrisch protokollierten Bohrungen. Die Sonde wurde an der Pelindaba Kalibrierungseinrichtung kalibriert. Das spektral Gamma-Logging der Bohrlöcher liefert ein leistungsstarkes Werkzeug für Uranunternehmen zu Exploration und Bewertung von Urandepots. Ein solches Verfahren misst die natürlichen Gammastrahlen, welche von dem Material um das Bohrloch abgestrahlt werden, um rund 0,5m von der Mitte ausgehend - die Gammasonde ist somit in der Lage Proben von viel höherem Volumen, als es sonst aus dem Kern eines RC-Lochs möglich ist, zu gewinnen. Diese Messungen werden verwendet, um die Urankonzentrationen zu schätzen, mit der Annahme, dass das Uran in (säkularen) Gleichgewicht mit seinen Tochterprodukten (oder Radionuklide) ist, welche die wichtigsten Gammastrahlen darstellen. Wenn das Uran nicht im Gleichgewicht ist (nämlich im Ungleichgewicht) - als Folge der Umverteilung (Abbau oder Verbesserung) von Uran und/oder seiner Tochterprodukte - dann wird die wahre Urankonzentration in den Löchern unter Verwendung der Gammasonde höher oder niedriger als die berichteten sein. Vorläufige Tests für das Unternehmen, durchgeführt von ANSTO Minerals, zeigen, dass das Marenica-Depot in säkularem Gleichgewicht ist (Ungleichgewicht ist nicht ersichtlich).

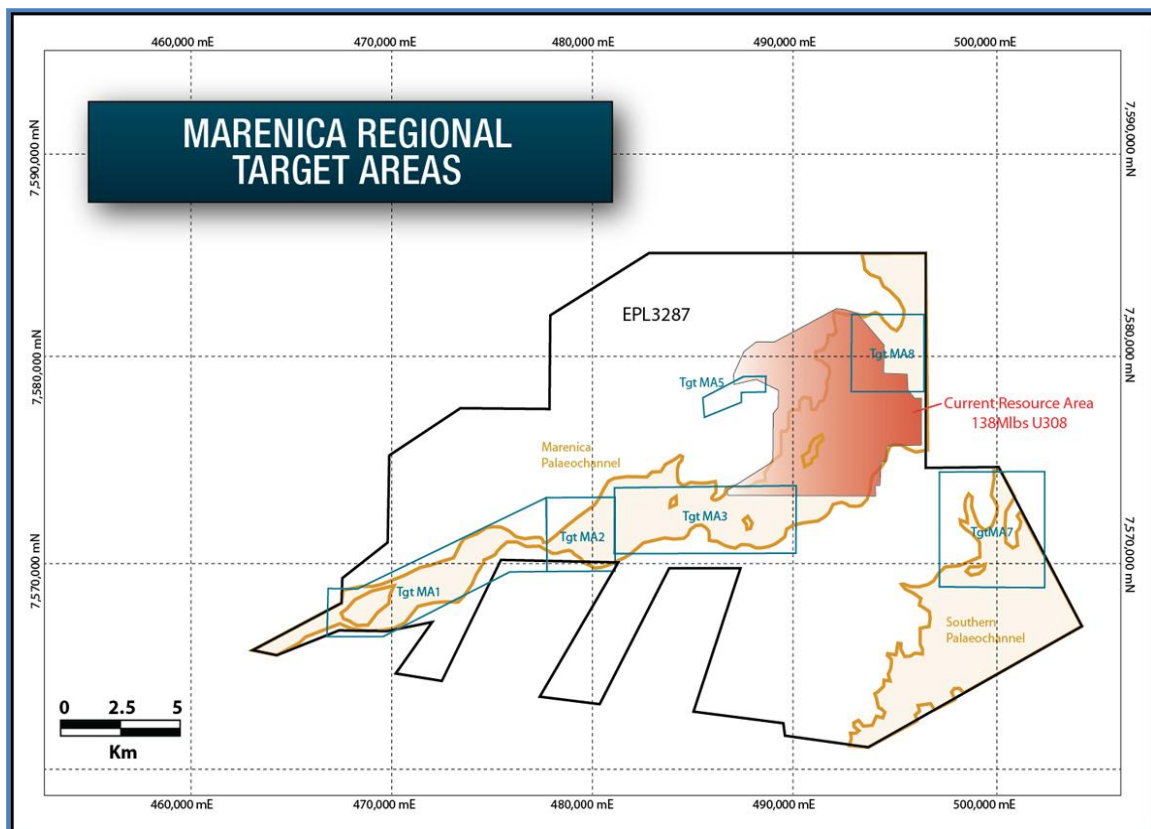


Abbildung 3: Marenica Uran-Projekt, mit Standort der regionalen Zielgebiete

Anhang

Tabelle 1: Bedeutende Einschlüsse us den RC-Bohrungen im East-Pit-Gebiet.

Hole_ID	UTM_East	UTM_North	Dip	Azim	Hole Depth (m)	From (m)	To (m)	Intercept (m)	eU3O8(ppm)
MAR1720	494100	7577200	-90	0	58	21.15	25.55	4.4	112.8
MAR1777	493900	7576900	-90	0	43	19.00	22.30	3.3	106.8
MAR1777	493900	7576900	-90	0	43	23.80	27.20	3.4	109.5
MAR1778	494000	7576900	-90	0	43	29.71	33.41	3.7	143.9
MAR1779	494100	7576900	-90	0	43	23.87	26.07	2.2	125.1
MAR1779	494100	7576900	-90	0	43	28.57	30.97	2.4	119.6
MAR1779	494100	7576900	-90	0	43	32.87	35.77	2.9	162.3
MAR1780	494200	7576900	-90	0	45	19.09	21.69	2.6	106.1
MAR1780	494200	7576900	-90	0	45	25.29	28.69	3.4	105.9
MAR1780	494200	7576900	-90	0	45	30.79	33.79	3.0	111.3
MAR1780	494200	7576900	-90	0	45	39.79	41.39	1.6	206.0
MAR1782	493700	7576800	-90	0	41	18.18	20.18	2.0	118.0
MAR1782	493700	7576800	-90	0	41	22.18	24.68	2.5	124.8
MAR1783	493500	7576800	-90	0	30	14.37	15.67	1.3	124.2
MAR1783	493500	7576800	-90	0	30	17.77	19.67	1.9	140.2
MAR1784	493400	7576800	-90	0	41	13.85	25.55	11.7	159.9
MAR1785	493200	7576800	-90	0	60	11.70	14.40	2.7	139.4
MAR1785	493200	7576800	-90	0	60	15.70	29.30	13.6	158.6
MAR1785	493200	7576800	-90	0	60	29.80	32.20	2.4	180.3
MAR1786	493100	7576800	-90	0	58	17.69	21.49	3.8	184.2
MAR1786	493100	7576800	-90	0	58	25.89	30.79	4.9	175.4
MAR1787	492900	7576800	-90	0	83	13.73	15.73	2.0	101.1
MAR1788	492800	7576800	-90	0	65	13.22	16.52	3.3	129.1
MAR1788	492800	7576800	-90	0	65	17.52	20.82	3.3	118.6
MAR1788	492800	7576800	-90	0	65	28.12	31.72	3.6	107.2
MAR1788	492800	7576800	-90	0	65	33.62	36.02	2.4	117.7
MAR1789	492600	7576800	-90	0	65	15.51	16.61	1.1	130.8
MAR1789	492600	7576800	-90	0	65	19.31	21.61	2.3	162.2
MAR1790	492600	7576700	-90	0	65	22.55	26.35	3.8	186.4
MAR1790	492600	7576700	-90	0	65	27.05	30.25	3.2	215.7
MAR1790	492600	7576700	-90	0	65	32.55	33.55	1.0	597.1
MAR1791	492700	7576700	-90	0	65	18.97	20.97	2.0	188.6
MAR1791	492700	7576700	-90	0	65	24.17	26.37	2.2	125.0
MAR1792	492800	7576700	-90	0	65	12.63	13.73	1.1	107.3
MAR1792	492800	7576700	-90	0	65	24.93	27.13	2.2	132.6
MAR1793	492900	7576700	-90	0	65	14.28	20.88	6.6	175.2
MAR1793	492900	7576700	-90	0	65	24.58	26.08	1.5	122.5
MAR1795	493100	7576700	-90	0	65	14.86	17.86	3.0	120.2
MAR1795	493100	7576700	-90	0	65	19.66	20.96	1.3	137.1

Hole_ID	UTM_East	UTM_North	Dip	Azim	Hole Depth (m)	From (m)	To (m)	Intercept (m)	eU3O8(ppm)
MAR1795	493100	7576700	-90	0	65	26.66	31.26	4.6	166.6
MAR1796	493200	7576700	-90	0	63	12.22	20.32	8.1	150.2
MAR1796	493200	7576700	-90	0	63	33.92	36.52	2.6	176.5
MAR1797	493300	7576700	-90	0	52	17.49	19.19	1.7	120.5
MAR1797	493300	7576700	-90	0	52	29.59	32.59	3.0	248.1
MAR1798	493400	7576700	-90	0	50	18.46	20.96	2.5	160.6
MAR1798	493400	7576700	-90	0	50	23.26	27.76	4.5	252.1
MAR1799	493500	7576700	-90	0	37	14.58	16.58	2.0	148.4
MAR1799	493500	7576700	-90	0	37	29.68	31.68	2.0	120.3
MAR1800	493600	7576700	-90	0	29	13.28	20.28	7.0	158.0
MAR1801	493700	7576700	-90	0	40	14.29	15.69	1.4	145.7
MAR1801	493700	7576700	-90	0	40	32.19	33.99	1.8	541.3
MAR1802	493700	7576600	-90	0	34	18.08	19.28	1.2	123.1
MAR1803	493500	7576600	-90	0	40	18.26	20.86	2.6	139.6
MAR1803	493500	7576600	-90	0	40	23.16	24.16	1.0	149.4
MAR1804	493400	7576600	-90	0	52	24.21	35.01	10.8	199.9
MAR1805	493200	7576600	-90	0	61	26.75	29.45	2.7	117.4
MAR1805	493200	7576600	-90	0	61	32.55	33.65	1.1	253.1
MAR1805	493200	7576600	-90	0	61	35.55	36.75	1.2	151.2
MAR1806	493100	7576600	-90	0	65	11.75	13.75	2.0	147.5
MAR1807	492900	7576600	-90	0	65	26.38	27.58	1.2	114.6
MAR1807	492900	7576600	-90	0	65	32.68	34.28	1.6	908.3
MAR1808	492800	7576600	-90	0	65	24.74	33.14	8.4	346.3
MAR1809	492600	7576600	-90	0	65	4.87	9.47	4.6	110.6
MAR1810	492600	7576500	-90	0	65	14.81	18.11	3.3	138.0
MAR1810	492600	7576500	-90	0	65	18.81	25.01	6.2	274.4
MAR1810	492600	7576500	-90	0	65	31.91	34.11	2.2	278.2
MAR1811	492700	7576500	-90	0	65	21.71	28.01	6.3	214.0
MAR1814	493000	7576500	-90	0	65	10.41	15.71	5.3	111.5
MAR1814	493000	7576500	-90	0	65	23.11	25.21	2.1	110.1
MAR1814	493000	7576500	-90	0	65	35.11	37.81	2.7	107.3
MAR1814	493000	7576500	-90	0	65	41.11	42.31	1.2	165.9
MAR1816	493200	7576500	-90	0	60	15.36	28.86	13.5	174.5
MAR1816	493200	7576500	-90	0	60	30.96	35.26	4.3	144.8
MAR1816	493200	7576500	-90	0	60	37.46	40.16	2.7	121.7
MAR1816	493200	7576500	-90	0	60	41.86	44.66	2.8	114.9
MAR1817	493300	7576500	-90	0	59	25.49	29.09	3.6	111.8
MAR1817	493300	7576500	-90	0	59	33.69	39.19	5.5	164.3
MAR1818	493400	7576500	-90	0	49	11.92	25.72	13.8	170.2
MAR1818	493400	7576500	-90	0	49	26.92	28.52	1.6	137.7
MAR1818	493400	7576500	-90	0	49	34.12	38.22	4.1	119.6
MAR1819	493500	7576500	-90	0	41	11.51	12.91	1.4	107.5
MAR1819	493500	7576500	-90	0	41	14.21	16.61	2.4	110.0
MAR1819	493500	7576500	-90	0	41	24.11	28.11	4.0	133.2

Hole_ID	UTM_East	UTM_North	Dip	Azim	Hole Depth (m)	From (m)	To (m)	Intercept (m)	eU3O8(ppm)
MAR1820	493600	7576500	-90	0	35	13.40	23.40	10.0	153.0
MAR1821	493700	7576500	-90	0	30	13.53	17.73	4.2	136.7
MAR1822	493700	7576400	-90	0	42	13.72	16.62	2.9	105.1
MAR1822	493700	7576400	-90	0	42	22.72	35.62	12.9	210.3
MAR1823	493500	7576400	-90	0	48	15.67	20.37	4.7	121.0
MAR1823	493500	7576400	-90	0	48	23.77	26.57	2.8	132.6
MAR1823	493500	7576400	-90	0	48	27.97	36.67	8.7	352.4
MAR1824	493400	7576400	-90	0	53	16.42	19.22	2.8	168.4
MAR1824	493400	7576400	-90	0	53	25.32	28.62	3.3	103.3
MAR1825	493200	7576400	-90	0	65	26.92	30.82	3.9	110.9
MAR1825	493200	7576400	-90	0	65	33.62	41.62	8.0	351.7
MAR1826	493100	7576400	-90	0	65	22.65	25.15	2.5	258.9
MAR1826	493100	7576400	-90	0	65	28.35	41.05	12.7	571.7
MAR1827	492900	7576400	-90	0	59	26.26	27.46	1.2	139.6
MAR1828	492800	7576400	-90	0	58	22.81	26.21	3.4	217.6
MAR1828	492800	7576400	-90	0	58	39.21	42.41	3.2	110.7
MAR1829	492600	7576400	-90	0	65	9.67	17.57	7.9	140.5
MAR1829	492600	7576400	-90	0	65	21.57	24.37	2.8	114.2
MAR1830	492600	7576300	-90	0	65	18.46	23.46	5.0	354.4
MAR1830	492600	7576300	-90	0	65	30.36	34.66	4.3	122.9
MAR1833	492900	7576300	-90	0	52	7.93	9.73	1.8	113.7
MAR1833	492900	7576300	-90	0	52	11.93	22.73	10.8	240.4
MAR1834	493000	7576300	-90	0	63	33.47	35.27	1.8	271.1
MAR1835	493100	7576300	-90	0	65	14.48	16.68	2.2	115.3
MAR1835	493100	7576300	-90	0	65	24.58	27.38	2.8	118.9
MAR1835	493100	7576300	-90	0	65	27.98	30.98	3.0	114.4
MAR1835	493100	7576300	-90	0	65	34.28	36.08	1.8	138.0
MAR1835	493100	7576300	-90	0	65	38.08	40.68	2.6	264.0
MAR1835	493100	7576300	-90	0	65	57.98	59.88	1.9	150.0
MAR1836	493210	7576300	-90	0	67	13.75	20.05	6.3	133.9
MAR1836	493210	7576300	-90	0	67	24.35	29.65	5.3	152.9
MAR1837	493300	7576300	-90	0	54	18.91	22.21	3.3	122.7
MAR1837	493300	7576300	-90	0	54	24.91	26.41	1.5	155.5
MAR1837	493300	7576300	-90	0	54	27.71	29.81	2.1	106.1
MAR1837	493300	7576300	-90	0	54	33.11	36.31	3.2	174.2
MAR1838	493407	7576300	-90	0	60	22.28	25.38	3.1	220.0
MAR1838	493407	7576300	-90	0	60	28.38	31.98	3.6	123.4
MAR1838	493407	7576300	-90	0	60	33.68	37.38	3.7	161.3
MAR1839	493500	7576300	-90	0	50	10.96	12.66	1.7	147.8
MAR1839	493500	7576300	-90	0	50	14.56	21.06	6.5	130.9
MAR1839	493500	7576300	-90	0	50	23.06	25.86	2.8	131.1
MAR1840	493600	7576308	-90	0	41	12.03	22.63	10.6	202.2
MAR1841	493700	7576300	-90	0	50	12.90	14.00	1.1	125.7

Hole_ID	UTM_East	UTM_North	Dip	Azim	Hole Depth (m)	From (m)	To (m)	Intercept (m)	eU3O8(ppm)
MAR1841	493700	7576300	-90	0	50	24.30	25.80	1.5	168.7
MAR1842	493400	7576200	-90	0	64	18.27	22.67	4.4	110.7
MAR1842	493400	7576200	-90	0	64	30.17	33.37	3.2	115.2
MAR1842	493400	7576200	-90	0	64	44.97	51.57	6.6	321.2
MAR1843	493200	7576200	-90	0	50	9.93	16.33	6.4	113.3
MAR1843	493200	7576200	-90	0	50	21.53	25.23	3.7	139.7
MAR1843	493200	7576200	-90	0	50	28.03	32.33	4.3	181.3
MAR1844	493100	7576200	-90	0	61	27.41	29.61	2.2	112.2
MAR1845	492900	7576200	-90	0	51	8.36	9.66	1.3	105.4
MAR1845	492900	7576200	-90	0	51	14.36	18.66	4.3	147.4
MAR1845	492900	7576200	-90	0	51	21.36	22.36	1.0	166.2
MAR1846	492800	7576200	-90	0	48	9.58	12.28	2.7	107.1
MAR1846	492800	7576200	-90	0	48	13.58	19.38	5.8	128.8
MAR1846	492800	7576200	-90	0	48	24.48	26.38	1.9	196.6
MAR1846	492800	7576200	-90	0	48	28.78	33.08	4.3	162.3
MAR1848	492600	7576100	-90	0	52	3.22	7.52	4.3	117.1
MAR1848	492600	7576100	-90	0	52	16.72	27.52	10.8	271.7
MAR1848	492600	7576100	-90	0	52	29.12	31.52	2.4	469.4
MAR1849	492700	7576100	-90	0	50	26.22	30.02	3.8	116.4
MAR1850	492800	7576100	-90	0	45	4.23	5.23	1.0	129.1
MAR1850	492800	7576100	-90	0	45	24.93	30.23	5.3	185.6
MAR1851	492900	7576100	-90	0	45	8.32	10.12	1.8	115.0
MAR1851	492900	7576100	-90	0	45	11.82	15.92	4.1	161.8
MAR1851	492900	7576100	-90	0	45	24.42	27.82	3.4	157.1
MAR1852	493000	7576100	-90	0	45	24.46	26.26	1.8	131.2
MAR1853	493100	7576100	-90	0	52	11.00	12.80	1.8	107.1
MAR1853	493100	7576100	-90	0	52	14.10	19.80	5.7	170.1
MAR1853	493100	7576100	-90	0	52	27.00	43.80	16.8	498.4
MAR1854	493200	7576100	-90	0	43	10.19	20.79	10.6	135.5
MAR1854	493200	7576100	-90	0	43	28.59	31.69	3.1	103.9
MAR1855	493300	7576100	-90	0	38	9.03	10.13	1.1	119.6
MAR1855	493300	7576100	-90	0	38	23.13	27.33	4.2	102.6
MAR1856	493400	7576100	-90	0	46	10.70	25.90	15.2	190.3
MAR1856	493400	7576100	-90	0	46	31.20	36.20	5.0	343.5
MAR1857	493100	7576000	-90	0	43	13.09	19.29	6.2	146.1
MAR1857	493100	7576000	-90	0	43	22.19	23.59	1.4	120.3
MAR1857	493100	7576000	-90	0	43	27.59	29.19	1.6	212.0
MAR1858	492900	7576000	-90	0	37	5.56	6.76	1.2	115.5
MAR1859	492800	7576000	-90	0	42	24.30	27.80	3.5	131.3
MAR1860	492600	7576000	-90	0	45	16.63	18.63	2.0	106.9
MAR1860	492600	7576000	-90	0	45	25.53	30.33	4.8	241.7
MAR1860	492600	7576000	-90	0	45	33.03	34.93	1.9	184.5
MAR1861	492600	7575900	-90	0	39	1.58	3.78	2.2	105.9
MAR1861	492600	7575900	-90	0	39	9.78	12.08	2.3	132.0

Hole_ID	UTM_East	UTM_North	Dip	Azim	Hole Depth (m)	From (m)	To (m)	Intercept (m)	eU3O8(ppm)
MAR1861	492600	7575900	-90	0	39	17.88	19.28	1.4	154.9
MAR1862	492700	7575900	-90	0	45	26.47	29.57	3.1	143.2
MAR1862	492700	7575900	-90	0	45	31.27	32.47	1.2	139.1
MAR1863	492800	7575900	-90	0	37	16.00	19.30	3.3	118.2
MAR1863	492800	7575900	-90	0	37	27.10	29.40	2.3	119.4
MAR1864	492900	7575900	-90	0	40	14.74	15.94	1.2	133.8
MAR1864	492900	7575900	-90	0	40	24.04	25.54	1.5	410.5
MAR1865	493000	7575900	-90	0	37	14.19	15.59	1.4	165.0
MAR1866	493110	7575900	-90	0	43	17.94	19.24	1.3	108.7
MAR1866	493110	7575900	-90	0	43	22.24	23.24	1.0	147.4
MAR1867	493100	7575800	-90	0	38	16.22	24.22	8.0	547.4
MAR1868	492900	7575800	-90	0	35	21.42	23.72	2.3	125.8
MAR1870	492700	7575800	-90	0	45	15.65	19.05	3.4	195.2
MAR1870	492700	7575800	-90	0	45	26.15	30.05	3.9	316.4
MAR1872	492600	7575700	-90	0	38	29.20	31.20	2.0	141.1
MAR1873	492700	7575700	-90	0	46	5.42	8.52	3.1	135.8
MAR1873	492700	7575700	-90	0	46	9.92	14.92	5.0	126.1
MAR1873	492700	7575700	-90	0	46	26.42	27.62	1.2	222.9
MAR1874	492800	7575700	-90	0	40	9.99	11.69	1.7	138.1
MAR1874	492800	7575700	-90	0	40	13.79	15.09	1.3	126.6
MAR1875	492900	7575700	-90	0	50	22.32	23.52	1.2	121.2
MAR1876	493000	7575700	-90	0	44	23.84	31.54	7.7	569.0
MAR1877	493100	7575700	-90	0	39	20.78	26.98	6.2	208.2
MAR1879	492900	7575600	-90	0	50	24.01	26.11	2.1	191.2
MAR1879	492900	7575600	-90	0	50	28.41	29.61	1.2	131.6
MAR1882	492600	7575500	-90	0	21	6.34	7.44	1.1	121.5
MAR1882	492600	7575500	-90	0	21	12.44	14.34	1.9	113.0
MAR1883	492700	7575500	-90	0	59	30.26	31.36	1.1	131.2
MAR1885	492900	7575500	-90	0	44	14.03	15.03	1.0	206.7
MAR1885	492900	7575500	-90	0	44	21.03	23.73	2.7	112.7
MAR1886	493000	7575500	-90	0	40	17.90	19.90	2.0	190.6
MAR1886	493000	7575500	-90	0	40	25.40	29.40	4.0	294.3
MAR1887	493100	7575500	-90	0	39	13.77	19.37	5.6	326.0
MAR1887	493100	7575500	-90	0	39	32.17	33.57	1.4	334.0
MAR1888	492900	7575400	-90	0	42	22.80	25.50	2.7	197.2
MAR1889	492800	7575400	-90	0	50	0.61	3.21	2.6	118.6
MAR1889	492800	7575400	-90	0	50	11.41	27.81	16.4	472.3
MAR1889	492800	7575400	-90	0	50	29.21	33.21	4.0	1168.6
MAR1890	492600	7575400	-90	0	35	15.91	17.01	1.1	138.1
MAR1890	492600	7575400	-90	0	35	22.21	24.11	1.9	116.7
MAR1891	492600	7575300	-90	0	64	28.34	29.64	1.3	207.9
MAR1892	492700	7575300	-90	0	64	13.11	14.71	1.6	193.4
MAR1892	492700	7575300	-90	0	64	25.01	28.11	3.1	123.0

Hole_ID	UTM_East	UTM_North	Dip	Azim	Hole Depth (m)	From (m)	To (m)	Intercept (m)	eU3O8(ppm)
MAR1893	492800	7575300	-90	0	50	23.66	25.26	1.6	657.1
MAR1893	492800	7575300	-90	0	50	27.56	31.56	4.0	364.6
MAR1894	492900	7575300	-90	0	40	22.87	26.57	3.7	183.0
MAR1895	492900	7575200	-90	0	39	24.44	25.64	1.2	107.0
MAR1897	492600	7575200	-90	0	47	21.10	28.00	6.9	303.6
MAR1899	492700	7575100	-90	0	47	30.81	32.81	2.0	166.8
MAR1903	499800	7573400	-90	0	22	12.42	17.02	4.6	138.9
MAR1904	500000	7573400	-90	0	21	12.16	14.36	2.2	168.9
MAR1905	500200	7573400	-90	0	25	12.22	15.42	3.2	188.0
MAR1906	500400	7573400	-90	0	21	13.19	14.29	1.1	271.6
MAR1909	499200	7573400	-90	0	25	11.21	16.81	5.6	272.3

Anmerkungen zu den Tabellen der Bohrergergebnisse

Die Intervalle werden aus den Daten von den geophysikalischen Beratern von Terratec mit Hilfe einer spektralen Gammasonde berechnet. eU3O8 -Werte basieren auf Total-Count-Protokollierung, mit gesammelten Daten in 10cm-Intervallen. Die berichteten Intervalle sind ein Minimum von 1m, mit niedrigerem Abschnitt von 100ppm eU3O8. Eine Maximale interne Verwendung von 2m auf weniger als 100ppm eU3O8 wird für jedes Intervall erlaubt.